

広島大学 正員 大村裕  
広島大学 正員 上野谷寛

## 1 考え方

有孔ばかりの弾塑性挙動に大きい影響を及ぼす要因として、荷重状態、孔の大きさ、断面形状等が考えられる。従来の研究で取扱われている要因は荷重状態に関するものであるが<sup>(1)(2)</sup>、孔の大きさに関するものは、あまり見られない。本研究は、内孔を有する矩形断面ばかりの弾塑性挙動を与える荷重状態、内孔径の影響を模型ばかりの荷重-変位曲線によって検討する。

## 2 模型実験

模型実験に使用した有孔ばかりの形状寸法、載荷状態、変位測定点を図-1に示す。模型ばかりは、材質がSS41の帶鋼を熱処理(F)にて表面加工時の残留ひずみを除去し、60×10×640に機械仕上げした。模型ばかりに使用した鋼材の機械的性質は、单纯引張試験の結果得られた  $\sigma_y = 2900 \text{ kg/mm}^2$  である。F=。

## 3 耐荷力の計算

(a) 計算法(1)；単純塑性設計の算法によれば、塑性モーメントは内孔を中心断面における最小となり応力状態は図-2のようになり层次元化して塑性モーメント  $M_p/M_{po}$ 、塑性せん断力  $S_p/S_{po}$  は次のようになる。

$$\frac{M_p}{M_{po}} = 2 R_1 (1 - \frac{d}{R_1}) (1 - 0.5 R_1 (1 - \frac{d}{R_1}))$$

$$\frac{S_p}{S_{po}} = (1 - R_1) (1 - \frac{d}{R_1})$$

$M_p, M_{po}, S_p, S_{po}$ ；それぞれ有孔、無孔時の塑性モーメント、塑性せん断力

$$M_{po} = \sigma_y t d^2, S_{po} = \frac{\sigma_y}{2} \sigma_y t d$$

各内孔径に対して計算して  $M_p/M_{po}, S_p/S_{po}$  を図-7に破線で示す。

(b) 計算法(2)；内孔部分の上下をいかでかね断面面部材と見えてブランデル作用を考慮する計算法。ブランデル作用を考慮した応力状態を図-3に示す。塑性モーメント  $M_p/M_{po}$ 、塑性せん断力  $S_p/S_{po}$  は、

$$\frac{M_p}{M_{po}} = (1 - R_1 - R_2 - \frac{t}{d} \cos \theta) (1 + R_1 - R_2 + \frac{t}{d} \cos \theta), \frac{S_p}{S_{po}} = R_1 \sqrt{1 - (\frac{R_1}{R_2})^2}$$

となる。  $R_1, R_2$  は次の式より求められる。

$$\sigma_y R_1 d = \sigma_y R_2 d, \quad \theta^2 + 3\tau^2 = \sigma_y^2 \quad (\text{von Mises の降伏条件})$$

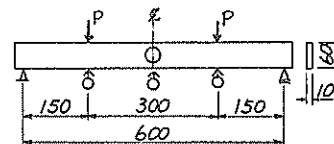
$$t R_1 \tau \sin \theta = \sigma_y R_1 d (1 - 0.5 R_1 - 0.5 R_2) - \tau \cos \theta$$

各内孔径に対して計算して  $M_p/M_{po}, S_p/S_{po}$  を図-7に実線で示す。

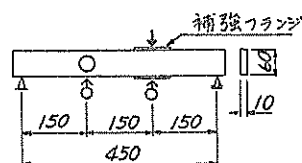
## 4 実験結果

模型ばかりの代表的荷重-変位曲線を各荷重状態に対して図-4～6に示す。模型ばかりの耐荷力の決定法は、図-5中に破線で示すように弾性域と塑性域の接線の交点によって定める。

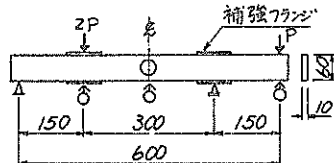
## 5 おまけ



(a) 純曲げ載荷



(b) 曲げせん断載荷



(c) せん断載荷

単位: mm

図-1 模型実験の荷重状態

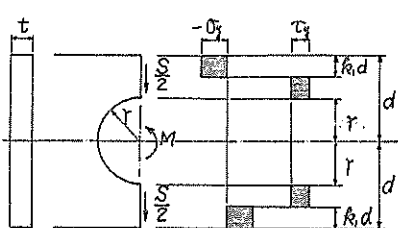


図-2 耐荷力計算法(1)

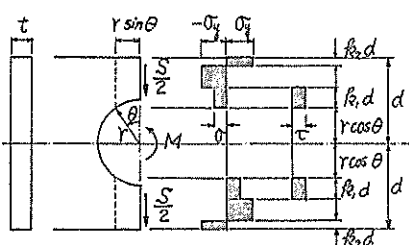


図-3 耐荷力計算法(2)

円孔を有する矩形断面はりの彈塑性挙動について、本研究の範囲内で明らかにした点を次に記す。  
 ①荷重-変位曲線は、 $r/d = 0$  と  $0.3$  の荷載点は純曲げ、曲げせん断、せん断の順に、 $r/d = 0.5, 0.7$  の順に明確となる。  
 ②フレンチル作用を考慮する計算法は模型実験の結果より近似を示し、耐荷力計算に適すると思われる。  
 参考文献  
 (1) Redwood, R.G. and McCutcheon, J.O. "Beam Tests With Unreinforced Web Openings" ASCE, Vol. 94, ST 1, Jan., 1968  
 (2) Bauer, J.E. "Ultimate Strength of Beams with Rectangular Holes" ASCE, Vol. 94, ST 6, June, 1968

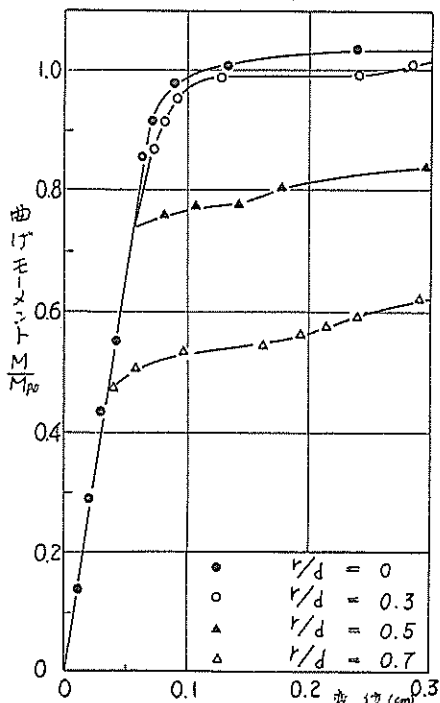


図-4 純曲げ載荷の荷重-変位曲線

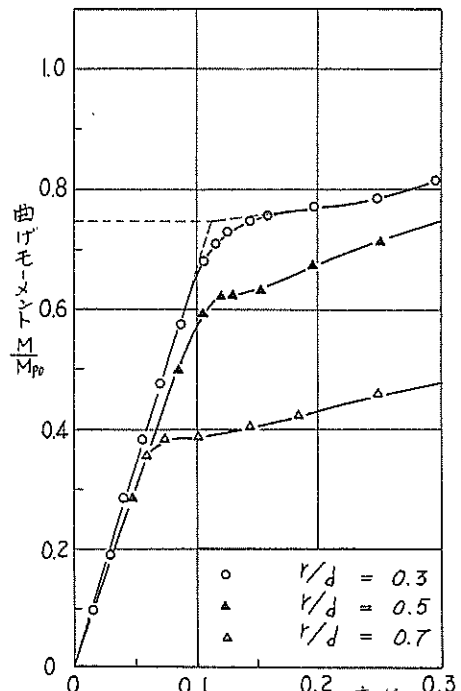


図-5 曲げせん断載荷の荷重-変位曲線

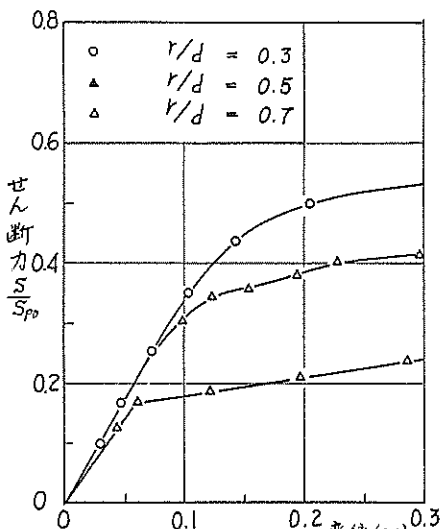


図-6 せん断載荷の荷重-変位曲線

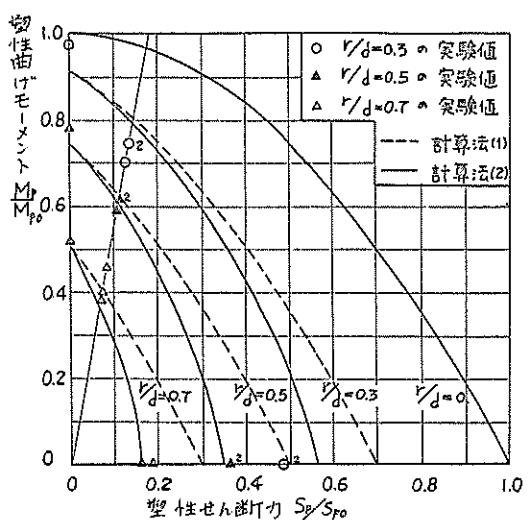


図-7 円孔を有する矩形断面はりの耐荷力